

УДК 539.3:534.113

МОДЕЛЬ ИЗГИБОВ ГИДРОСТАТИЧЕСКИ СЖАТОЙ ОБОЛОЧКИ ВБЛИЗИ ПОРОГА ЕЕ УСТОЙЧИВОСТИ

В. В. Киселев, Д. В. Долгих

Институт физики металлов УрО РАН, 620219 Екатеринбург

E-mail: kiseliev@imp.uran.ru

В рамках нелинейной теории упругости построена упрощенная модель динамики изгибов тонкой гидростатически сжатой оболочки вблизи порога устойчивости ее формы. Найдены условия существования и явные выражения для пространственно локализованных возбуждений и узоров из вмятин на поверхности оболочки, которые являются “предвестниками” ее последующего формоизменения.

Ключевые слова: оболочка, нелинейная упругость, устойчивость, солитон.

Круговая цилиндрическая оболочка, сжатая с внешней стороны поверхности жидкостью высокого давления, при некотором значении давления теряет устойчивость формы (происходит “хлопок”). В результате на поверхности оболочки появляются вытянутые вдоль образующей выпуклости и вмятины, чередующиеся в поперечном сечении оболочки [1]. При этом деформации тонкой оболочки остаются упругими и соответствуют в основном ее геометрическому изгибу [2]. Поэтому начальную стадию формоизменения оболочки можно описать в рамках нелинейной теории упругости [3–5]. Уравнения нелинейной теории упругости учитывают не только геометрическую нелинейность задачи, обусловленную нелинейностью тензора деформаций, но и физическую нелинейность, которая характеризует свойства материала и описывается высшими инвариантами тензора деформаций в разложении выражения для нелинейно-упругой энергии среды. Корректный учет высших инвариантов принципиален, так как возникновение эффектов нелинейности приводит к локализации изгибов оболочки. В конечном счете образование пространственно локализованных узоров из вмятин на поверхности оболочки на начальной стадии ее формоизменения является результатом взаимодействия эффектов нелинейности и дисперсии.

Одна из важных особенностей задачи состоит в том, что исходные уравнения нелинейной теории упругости не содержат дисперсионных слагаемых. В упрощенных моделях оболочек дисперсионные члены появляются в результате исключения “быстрой” переменной, характеризующей неоднородность деформаций вдоль нормали к поверхности оболочки.

В настоящее время появились методы [6], с помощью которых можно получать упрощенные модели исходя из апробированных уравнений нелинейной теории упругости без использования априорных гипотез, с контролируемой точностью по малым параметрам, характеризующим размеры оболочки, величину внешнего напряжения, пространственно-временные масштабы деформаций, геометрическую и физическую нелинейности задачи. Такие методы выявляют скрытую динамическую симметрию задачи, поэтому упрощен-

Работа выполнена при финансовой поддержке Российского фонда фундаментальных исследований (код проекта 04-01-96107) и Министерства промышленности, энергетики и науки Свердловской области (договор № Р-06-46, проект “РФФИ-Урал” № 04-01-96107).

ные уравнения оказываются универсальными и близкими к интегрируемым моделям, что позволяет детально анализировать их решения методами современной теории солитонов. Тем не менее нелинейно-упругая динамика оболочек вблизи порогов их устойчивости, возможности ее аппроксимации интегрируемыми моделями до сих пор не изучены.

В данной работе предлагается вариант редуктивной теории возмущений, пригодный для решения нелинейных краевых задач, в которых конечная поверхность деформируемой оболочки заранее неизвестна и находится в процессе решения задачи. Выражение для исходной нелинейно-упругой энергии материала представляется в виде разложения по всем допускаемым симметрией среды инвариантам тензора деформаций. Предлагаемый метод позволяет автоматически отбирать в уравнениях нелинейной теории упругости инварианты и вклады от них, необходимые для построения упрощенной модели. Оказалось, что для решения разных задач необходимы разные инварианты, а в результате получаются разные модели.

1. Основные уравнения. Пусть \mathbf{i}_k ($k = 1, 2, 3$) — базисные орты декартовой системы координат (вектор \mathbf{i}_1 направлен вдоль оси круговой цилиндрической оболочки). Положение материальной частицы недеформированной оболочки описывается радиус-вектором $\mathbf{r} = x^s \mathbf{i}_s$. По повторяющимся индексам проводится суммирование. Индексы, обозначенные латинскими буквами, принимают значения 1, 2, 3.

Для дальнейшего анализа удобно перейти от декартовой системы координат к криволинейной, которая близка к цилиндрической системе координат и поэтому лучше учитывает симметрию задачи. Положение материальной частицы недеформированной оболочки будем характеризовать координатами

$$y^1 = x^1, \quad y^2 = \frac{R}{2i} \ln \frac{x^2 + ix^3}{x^2 - ix^3}, \quad y^3 = \sqrt{(x^2)^2 + (x^3)^2}$$

(R — радиус срединной поверхности недеформированной оболочки; i — мнимая единица). Векторы локального репера и компоненты метрического тензора имеют вид

$$\mathbf{e}_k = \frac{\partial x^s}{\partial y^k} \mathbf{i}_s, \quad g_{ik} = \frac{\partial x^s}{\partial y^i} \frac{\partial x^s}{\partial y^k} = \text{diag}\left(1, \left(\frac{y^3}{R}\right)^2, 1\right).$$

Такой выбор локального репера приводит к стандартным уравнениям теории оболочек.

При деформировании оболочки материальная частица с радиус-вектором \mathbf{r} приобретает смещение: $\mathbf{r} \rightarrow \mathbf{r} + \mathbf{v}$, где $\mathbf{v} = v^s(\mathbf{y}, t) \mathbf{e}_s$. Лагранжев тензор деформаций определяется соотношением

$$E_{km} = \frac{1}{2} (\nabla_k v_m + \nabla_m v_k + \nabla_k v^s \nabla_m v_s), \quad \nabla_k v^s = \frac{\partial}{\partial y^k} v^s + \Gamma_{kp}^s v^p. \quad (1)$$

Здесь $\nabla_k v^s$ — абсолютная (ковариантная) производная компонент поля смещений. В рассматриваемой задаче отличны от нуля лишь следующие компоненты символов Кристоффеля: $\Gamma_{23}^2 = \Gamma_{32}^2 = 1/y^3$, $\Gamma_{22}^3 = -y^3/R^2$.

В нелинейной теории [3–5] упругая энергия материала представляется в форме разложения по инвариантам тензора деформации, совместимым с кристаллографической симметрией среды. Когда среда изотропна, независимых инвариантов только три: $I_1 = E_m^m$, $I_2 = E_m^s E_s^m$, $I_3 = E_m^n E_n^s E_s^m$, поэтому общее выражение для упругой энергии оболочки имеет вид

$$U = \int_{V_0} \varphi \sqrt{g} dy^1 dy^2 dy^3, \quad \sqrt{g} = \sqrt{\det \|\mathbf{g}\|} = -y^3/R,$$

$$\varphi = \frac{\lambda}{2} I_1^2 + \mu I_2 + \frac{A}{3} I_3 + B I_1 I_2 + \frac{C}{3} I_1^3 + \sum_{n=4}^{\infty} \sum_{\langle k,p,q \rangle = n} A^{kpq} I_1^k I_2^p I_3^q.$$

Здесь φ — энергия, отнесенная к единице объема оболочки до деформации; $\sum_{\langle k,p,q \rangle=n}$ — сумма по всем натуральным числам k, p, q с ограничением $k+2p+3q=n$. Интегрирование проводится по объему V_0 недеформированной оболочки. Для определенности полагаем, что все упругие модули среды $\lambda, \mu, A, B, C, A^{kpq}$ сравнимы по порядку величины.

Уравнения динамики нелинейно-упругого тела записываются в виде

$$-\rho_0 \partial_t^2 v^i + \nabla_s P^{is} = 0, \quad (2)$$

где P^{is} — компоненты тензора Пиолы — Кирхгофа:

$$P^{is} = \frac{\partial \varphi}{\partial E_{is}} + \frac{\partial \varphi}{\partial E_{sm}} \nabla_m v^i. \quad (3)$$

Для дальнейшего анализа граничные условия на той части поверхности S деформированного тела, где заданы внешние силы $\mathbf{f} = f^k \mathbf{e}_k$, удобнее записать относительно величин, соответствующих недеформированной оболочке [3, 4]:

$$P^{ik} n_k|_{\sigma'} = f^i \frac{dS}{d\sigma}|_{\sigma'}.$$

Здесь n_l — компоненты вектора нормали к соответствующему элементу поверхности σ' недеформированной оболочки; $dS/d\sigma$ — относительное изменение малой площадки при деформировании тела:

$$\frac{dS}{d\sigma} = \sqrt{m_k m^k}, \quad m_k = \frac{\partial \det \|C\|}{\partial C_l^k}, \quad C_l^k = \delta_l^k + \nabla_l v^k.$$

Особенность гидростатического давления p заключается в том, что оно всегда направлено по нормали к деформируемой поверхности. С учетом этого обстоятельства граничные условия на боковой поверхности σ оболочки принимают вид [3, 4]

$$P^{i3}|_{\sigma^+} = g^{ik} p \frac{\partial \det \|C\|}{\partial C_3^k}|_{\sigma^+}, \quad P^{i3}|_{\sigma^-} = 0. \quad (4)$$

Здесь σ^+, σ^- — внешняя и внутренняя части боковой поверхности оболочки соответственно. Нелинейные граничные условия (4) определяют дисперсию локальных изгибов оболочки.

В то же время согласно принципу Сен-Венана для описания динамики изгибов, расположенных в центральной части оболочки, необходимы лишь интегральные характеристики сил вдоль ее кромок, которые обычно учитываются эффективными граничными условиями для упрощенных моделей [7].

2. Редуктивная теория возмущений. Пусть l — характерный масштаб изгибов поверхности оболочки ($l \ll L$, где L — длина оболочки), $\tau_{ch} = l/\sqrt{\mu/\rho_0}$ — характерное время деформаций. Введем следующие безразмерные переменные:

$$\xi_\alpha = y^\alpha/l \quad (\alpha = 1, 2), \quad \eta = (y^3 - R)/d, \quad \tau = t/\tau_{ch}.$$

Далее будем рассматривать изгибы оболочки, сравнимые с ее толщиной d , поэтому поля смещений отнесены к величине d :

$$u = v^1/d, \quad v = v^2/d, \quad w = v^3/d.$$

Определим малые параметры, характеризующие толщину оболочки и ее кривизну: $\varepsilon = d/l \ll 1$, $\delta = d/R = O(\varepsilon^2)$. Ограничимся рассмотрением достаточно медленных процессов, для которых справедлива оценка $|\partial_\tau v^i/v^i| = O(\varepsilon^2)$. Для построения упрощенной модели более детальной информации о начальных условиях задачи не требуется.

Пусть внешнее давление p таково, что $p/\mu = O(\varepsilon^4)$. При сформулированных условиях уравнения нелинейной теории упругости (2) для оболочки можно свести к более простой модели.

В безразмерных переменных основные уравнения (2) имеют вид

$$\begin{aligned}\mu\varepsilon^2 \partial_\tau^2 u &= \varepsilon \partial_{\xi_\alpha} P^{1\alpha} + \partial_\eta P^{13} + \delta(1 + \delta\eta)^{-1} P^{13}, \\ \mu\varepsilon^2 \partial_\tau^2 v &= \varepsilon \partial_{\xi_\alpha} P^{2\alpha} + \partial_\eta P^{23} + \delta(1 + \delta\eta)^{-1} (2P^{23} + P^{32}), \\ \mu\varepsilon^2 \partial_\tau^2 w &= \varepsilon \partial_{\xi_\alpha} P^{3\alpha} + \partial_\eta P^{33} - \delta(1 + \delta\eta)^{-1} P^{22} + \delta(1 + \delta\eta)^{-1} P^{33}.\end{aligned}\quad (5)$$

Для построения модели решение уравнений (5) будем искать в виде

$$\begin{aligned}u &= \sum_{n=1}^{\infty} u^{(n)}(\xi_1, \xi_2, \eta, \tau), & v &= \sum_{n=1}^{\infty} v^{(n)}(\xi_1, \xi_2, \eta, \tau), \\ w &= w^{(0)}(\xi_1, \xi_2, \tau) + \sum_{n=2}^{\infty} w^{(n)}(\xi_1, \xi_2, \eta, \tau).\end{aligned}\quad (6)$$

Здесь верхний индекс определяет порядок слагаемого по параметру малости ε . Формулы (1), (3), (6) приводят к разложениям тензоров E_{ij} и P^{ij} :

$$P^{ij} = \sum_n (P^{ij})^{(n)}, \quad E_{ij} = \sum_n (E_{ij})^{(n)}.\quad (7)$$

Подставляя формулы (7) в уравнения (5) и приравнивая слагаемые одного порядка малости по параметру ε , получим цепочку обыкновенных дифференциальных уравнений по “быстрой” переменной η , характеризующей неоднородность деформаций вдоль нормали к поверхности оболочки. Граничные условия, необходимые для решения этих уравнений, следуют из разложений по параметру ε исходных граничных условий (4).

В теории возмущений первых порядков краевые задачи

$$\begin{aligned}\partial_\eta (P^{\alpha 3})^{(s)} &= 0, & (P^{\alpha 3})^{(s)}|_{\eta=\pm 1/2} &= 0, & s &= 1, 2, \\ \partial_\eta (P^{33})^{(n)} &= 0, & (P^{33})^{(n)}|_{\eta=\pm 1/2} &= 0, & n &= 2, 3\end{aligned}\quad (8)$$

имеют тривиальные решения $(P^{\alpha 3})^{(s)} \equiv 0$, $(P^{33})^{(n)} \equiv 0$. Используя формулы (3), из этих решений можно найти деформации:

$$E_{\alpha 3}^{(s)} = 0 \quad (s = 1, 2), \quad E_{33}^{(n)} = -\frac{\lambda}{\lambda + 2\mu} E_{\alpha\alpha}^{(n)} \quad (n = 2, 3),\quad (9)$$

что позволяет упростить выражения для компонент $(P^{\alpha\beta})^{(n)}$ тензора Пиолы — Кирхгофа:

$$(P^{\alpha\beta})^{(n)} = \lambda' E_{\gamma\gamma}^{(n)} + 2\mu E_{\alpha\beta}^{(n)} \quad (n = 2, 3).\quad (10)$$

Здесь и далее греческие индексы принимают значения 1, 2; эффективный модуль $\lambda' = 2\mu\lambda/(\lambda + 2\mu)$ определяет напряжения, возникающие при изменении размера элемента поверхности оболочки.

Если равенства (9) записать в терминах полей смещений, то получим дифференциальные уравнения относительно переменной η , из которых легко найти зависимость от η функций $u^{(s)}$, $v^{(s)}$, $w^{(n)}$. Для построения традиционной нелинейной модели оболочек достаточно разрешить относительно смещений лишь первые из уравнений (8) с $s = 1$. В результате получим

$$u^{(1)} = -\varepsilon\eta \partial_{\xi_1} \tilde{w}^{(0)} + \tilde{u}^{(1)}(\xi_1, \tau), \quad v^{(1)} = -\varepsilon\eta \partial_{\xi_2} \tilde{w}^{(0)} + \tilde{v}^{(1)}(\xi_2, \tau).\quad (11)$$

Не зависящие от η функции $\tilde{u}^{(1)}$ и $\tilde{v}^{(1)}$, появившиеся в процессе интегрирования, конкретизируются в теории возмущений следующих порядков. Далее все функции, не зависящие от η , будем отмечать знаком “ \sim ”, например: $w^{(0)} = \tilde{w}^{(0)}$.

Формулы (9)–(11) позволяют выделить в явном виде зависимость функций $(P^{\alpha\beta})^{(2)}$ от “быстрой” переменной η :

$$(P^{\alpha\beta})^{(2)} = \sigma_{\alpha\beta}^{(2)} - \varepsilon^2 \eta (\lambda' \delta_{\alpha\beta} \Delta + 2\mu \partial_{\xi_\alpha} \partial_{\xi_\beta}) \tilde{w}^{(0)}, \quad \Delta = \partial_{\xi_1}^2 + \partial_{\xi_2}^2 \quad (12)$$

($\delta_{\alpha\beta}$ — символ Кронекера). Тензор $\sigma_{\alpha\beta}^{(2)} = \lambda' \varepsilon_{\gamma\gamma}^{(2)} \delta_{\alpha\beta} + 2\mu \varepsilon_{\alpha\beta}^{(2)}$ описывает внутренние напряжения оболочки, вызванные “квазиплоскими” деформациями:

$$\begin{aligned} \varepsilon_{11}^{(2)} &= \varepsilon \partial_{\xi_1} \tilde{u}^{(1)} + \varepsilon^2 (\partial_{\xi_1} \tilde{w}^{(0)})^2 / 2, & \varepsilon_{22}^{(2)} &= \varepsilon \partial_{\xi_2} \tilde{v}^{(1)} + \varepsilon^2 (\partial_{\xi_2} \tilde{w}^{(0)})^2 / 2 + \delta \tilde{w}^{(0)}, \\ \varepsilon_{12}^{(2)} &= \varepsilon (\partial_{\xi_1} \tilde{v}^{(1)} + \partial_{\xi_2} \tilde{u}^{(1)} + \varepsilon \partial_{\xi_1} \tilde{w}^{(0)} \partial_{\xi_2} \tilde{w}^{(0)}) / 2. \end{aligned} \quad (13)$$

Следует отметить, что уравнения высших порядков теории возмущений могут быть проинтегрированы только при выполнении условий разрешимости соответствующих краевых задач. Условия разрешимости получаются в результате интегрирования уравнений теории возмущений по толщине оболочки с учетом граничных условий на ее поверхности. Эти условия дают алгебраические или дифференциальные связи между функциями, такими как $\tilde{u}^{(1)}$ и $\tilde{v}^{(1)}$, которые были произвольными в теории возмущений первых порядков. Можно показать, что все условия разрешимости самосогласованны и непротиворечивы.

Определим роль условий разрешимости на примере краевой задачи теории возмущений 3-го порядка:

$$\partial_\eta (P^{\alpha 3})^{(3)} + \varepsilon \partial_{\xi_\beta} (P^{\alpha\beta})^{(2)} = 0, \quad (P^{\alpha 3})^{(3)}|_{\eta=\pm 1/2} = 0. \quad (14)$$

Интегрируя уравнение в (14) по толщине оболочки, получим условия разрешимости задачи (14):

$$\partial_{\xi_\beta} \langle P^{\alpha\beta} \rangle^{(2)} = 0. \quad (15)$$

Здесь и далее $\langle f \rangle = \int_{-1/2}^{1/2} f(\eta) d\eta$ — среднее значение функции $f(\eta)$ по толщине оболочки.

Используя представление (12), нетрудно убедиться, что ограничения (15) сводятся к системе дифференциальных уравнений для расчета функций $\tilde{u}^{(1)}$ и $\tilde{v}^{(1)}$:

$$\partial_{\xi_\beta} \sigma_{\alpha\beta}^{(2)} = 0. \quad (16)$$

При выполнении условий (16) краевая задача (14) имеет следующее решение:

$$(P^{\alpha 3})^{(3)} = (\varepsilon^3 / 2) (\lambda' + 2\mu) (\eta^2 - 1/4) \Delta \partial_{\xi_\alpha} \tilde{w}^{(0)}.$$

Таким образом, при интегрировании уравнений теории возмущений в первую очередь вычисляются функции $(P^{ik})^{(n)}$, которые в силу соотношений (3) связаны с производными $(\partial\varphi/\partial E_{ik})^{(n)}$, а через них — с компонентами тензора деформаций $E_{sp}^{(n)}$. Поэтому с учетом уравнений теории возмущений предыдущих порядков после определения $(P^{ik})^{(n)}$ вычисляются функции $(\partial\varphi/\partial E_{ik})^{(n)}$ и $E_{sp}^{(n)}$. Для построения упрощенных моделей оболочек этой информации часто оказывается достаточно. Не нужно вычислять все поля смещений до n -го порядка включительно. Указанная особенность теории возмущений чрезвычайно облегчает построение эффективных моделей.

Отметим также, что в теории возмущений 3-го порядка и выше $(P^{3\alpha})^{(m)} \neq (P^{\alpha 3})^{(m)}$. Однако, как следует из (3), компоненты $(P^{3\alpha})^{(m)}$ всегда могут быть вычислены по известным функциям $(P^{\alpha 3})^{(m)}$. Например:

$$(P^{3\alpha})^{(3)} = (P^{\alpha 3})^{(3)} + \varepsilon \partial_{\xi_\gamma} \tilde{w}^{(0)} (P^{\gamma\alpha})^{(2)}.$$

Уравнение для расчета $\tilde{w}^{(0)}$ получим с использованием краевой задачи теории возмущений 4-го порядка:

$$\begin{aligned} \mu \varepsilon^2 \partial_\tau^2 \tilde{w}^{(0)} &= \varepsilon \partial_{\xi_\alpha} (P^{3\alpha})^{(3)} + \partial_\eta (P^{33})^{(4)} - \delta (P^{22})^{(2)}, \\ (P^{33})^{(4)}|_{\eta=1/2} &= p, \quad (P^{33})^{(4)}|_{\eta=-1/2} = 0. \end{aligned} \quad (17)$$

Нетрудно проверить, что из условия разрешимости задачи (17) следует дифференциальное уравнение

$$\mu \varepsilon^2 \partial_\tau \tilde{w}^{(0)} = -(1/12)(\lambda' + 2\mu)\varepsilon^4 \Delta \Delta \tilde{w}^{(0)} + p - \delta \sigma_{22}^{(2)} + \varepsilon^2 \sigma_{\gamma\beta}^{(2)} \partial_{\xi_\gamma} \partial_{\xi_\beta} \tilde{w}^{(0)}. \quad (18)$$

Уравнения (16), (18) образуют замкнутую систему для определения функций $\tilde{u}^{(1)}$, $\tilde{v}^{(1)}$, $\tilde{w}^{(0)}$, которая совпадает с традиционной нелинейной моделью оболочек [1, 8, 9]. Уравнения (16), (18) обычно записывают в иной форме, исключая из формул (13), (16), (18) поля смещений $\tilde{u}^{(1)}$, $\tilde{v}^{(1)}$ с помощью функции напряжений Φ : $\sigma_{11}^{(2)} = \partial_{\xi_2}^2 \Phi$, $\sigma_{22}^{(2)} = \partial_{\xi_1}^2 \Phi$, $\sigma_{12}^{(2)} = -\partial_{\xi_1} \partial_{\xi_2} \Phi$.

Таким образом, традиционная нелинейная модель оболочек представляет собой простейшую редукцию общих уравнений теории упругости (2). Такая модель учитывает только геометрическую нелинейность задачи и не всегда пригодна для изучения нелинейно-упругой динамики оболочек. Так, у длинных гидростатически сжатых оболочек изгибы вдоль образующей слабо зависят от координаты ξ_1 . В то же время, если в нелинейных уравнениях (16), (18) пренебречь зависимостью смещений от ξ_1 , то они сведутся к линейным. Нелинейная динамика оболочек, сжатых жидкостью высокого давления, полностью проявляется лишь в редуктивной теории возмущений следующих порядков и обусловлена не только геометрической, но и физической нелинейностью задачи, а также эффектами высшей пространственной дисперсии.

Чтобы выйти за рамки “квазилинейного” приближения (16), (18), при построении модели изгибов оболочки необходимо использовать редуктивную теорию возмущений следующих (5-го и 6-го) порядков. Процедура построения более общей динамической модели для гидростатически сжатой оболочки аналогична схеме, подробно изложенной в [10] при описании сильных изгибов пластины.

Процедуру построения эффективных моделей для оболочек и сами модели можно значительно упростить, предположив, что вблизи порогов устойчивости оболочек гофрировка их поверхностей осуществляется преобладающими (нейтрально-устойчивыми) линейными модами деформации, которые специфичны для каждой задачи. Из-за неустойчивости таких мод проявляются и начинают играть определяющую роль нелинейные свойства среды, что обуславливает пространственную локализацию деформаций. Эффекты дисперсии ограничивают увеличение амплитуды изгибов оболочки и при определенных условиях приводят к формированию “долгоживущих” возбуждений и узоров из вмятин на ее поверхности. Для теоретического описания локальных деформаций оболочки удобен метод многомасштабных разложений, с помощью которого уравнения нелинейной теории упругости сводятся к упрощенным амплитудным уравнениям для огибающих вмятин на поверхности оболочки, учитывающим специфику конкретной задачи. Ранее в рамках такого подхода

удалось аналитически описать гофрировку наиболее сильно нагруженного слоя материала [11], кольцевые складки и пространственно локализованные узоры из ромбовидных вмятин на поверхностях продольно сжатых цилиндрических оболочек [12].

3. Амплитудное уравнение. Конкретизируем разложение (6), учитывая геометрию изгибов поверхности гидростатически сжатой оболочки. Пусть вдоль дуги оболочки образуется n волн изгиба ее поверхности. Тогда характерный масштаб $l = R/n$. Как и ранее, предполагаем $\varepsilon = d/l = nd/R \ll 1$, $\delta = d/R = O(\varepsilon^2)$, что соответствует образованию на поверхности оболочки большого количества продольных вмятин: $n = O(1/\varepsilon)$, $n > 3$.

Деформации оболочки в окружном направлении и вдоль нормали к поверхности будем описывать прежними переменными ξ_2 и η . Прогибы оболочки вдоль образующей являются плавными, поэтому для их анализа введем более “медленную” координату $X = \varepsilon y^1/l$. Поскольку $l/\varepsilon = R/(n\varepsilon) \sim R$, переменная X уместна при описании оболочек, длина которых больше их радиуса. Далее рассматриваются достаточно медленные процессы, которые описываются безразмерным временем $T = \varepsilon^2 t/\tau_{ch}$. Выбор масштабных преобразований, следующий из анализа пространственно-временных откликов системы на внешнее возмущение и позволяющий учитывать возможность баланса эффектов дисперсии и нелинейности [6], поясняется ниже.

Для построения амплитудного уравнения решение основных уравнений (5) будем искать в виде

$$u = \sum_{n=1}^{\infty} \sum_{m=-\infty}^{\infty} u^{(n,m)}(X, T, \eta) \exp(im\xi_2), \quad v = \sum_{n=1}^{\infty} \sum_{m=-\infty}^{\infty} v^{(n,m)}(X, T, \eta) \exp(im\xi_2),$$

$$w = \tilde{w}^{(0,0)}(X, T) + \tilde{w}^{(0,1)}(X, T) \exp(i\xi_2) + \tilde{w}^{(0,-1)}(X, T) \exp(-i\xi_2) +$$

$$+ \sum_{n=2}^{\infty} \sum_{m=-\infty}^{\infty} w^{(n,m)}(X, T, \eta) \exp(im\xi_2). \quad (19)$$

Здесь индекс n характеризует порядок малости слагаемого по параметру ε ; целое число m определяет кратность гармоники. Связь волнового числа n/R преобладающей нейтрально-устойчивой моды с внешним давлением находится в процессе построения модели. Переменные X , T описывают медленные модуляции основной гармоники, обусловленные ее взаимодействием с близкими неустойчивыми модами деформации. В силу вещественности полей u , v , w коэффициенты разложений (19) удовлетворяют ограничениям $u^{(n,m)} = (u^{(n,-m)})^*$, $v^{(n,m)} = (v^{(n,-m)})^*$, $w^{(n,m)} = (w^{(n,-m)})^*$.

Пусть концы оболочки сдерживаются связями, так что она не испытывает продольных смещений:

$$\partial_X u^{(1,0)} \Big|_{y^1=0,L} = 0. \quad (20)$$

Уравнения теории возмущений получаются при подстановке разложений (19) в уравнения (5) и граничные условия (4) после приравнивания слагаемых одного порядка малости по параметру ε с одинаковыми множителями $\exp(im\xi_2)$.

После интегрирования уравнений теории возмущений по “быстрой” переменной η возникают функции медленных переменных X и T . Из условий разрешимости уравнений следует также связь волнового числа нейтрально-устойчивой моды, ответственной за образование изгибов оболочки в окружном направлении, с внешним давлением, при котором начинается формоизменение оболочки.

При построении упрощенной модели отсутствует необходимость вычисления полей смещений до шестого порядка включительно. Достаточно выявить зависимость от переменной η компонент $u^{(1,m)}$, $v^{(1,m)}$ ($m = 0, 1, 2$), $u^{(2,s)}$, $v^{(2,s)}$ ($s = 0, 1$), $v^{(3,1)}$, $w^{(2,p)}$

($p = 0, 1, 2$). Компоненты полей u и v находим интегрированием по η выражений для $(P^{\alpha 3})^{(s,m)}$ ($s = 1, 2, 3$), а поправки $w^{(2,p)}$ — из уравнений $(P^{33})^{(2,p)} = 0$. Остальную информацию можно получить из функций $(P^{ij})^{(n,m)}$, которые вычисляются значительно проще.

В теории возмущений второго порядка от нуля будут отличны лишь следующие компоненты тензоров $E_{\alpha\beta}^{(2,m)}$, $(P^{\alpha\beta})^{(2,m)}$:

$$\begin{aligned} E_{22}^{(2,0)} &= \delta\tilde{w}^{(0,0)} + \varepsilon^2 |\tilde{w}^{(0,1)}|^2, & E_{21}^{(2,1)} &= \varepsilon^2 \eta \tilde{w}^{(0,1)}, \\ (P^{11})^{(2,k)} &= \lambda' E_{22}^{(2,k)}, & (P^{22})^{(2,k)} &= (\lambda' + 2\mu) E_{22}^{(2,k)}, & k &= 0, 1. \end{aligned} \quad (21)$$

Особенности расчетов рассмотрим на примере уравнений теории возмущений 4-го порядка:

$$\begin{aligned} \varepsilon i m (P^{32})^{(3,m)} + \partial_\eta (P^{33})^{(4,m)} - \delta (P^{22})^{(2,m)} &= 0, \\ (P^{33})^{(4,m)} \Big|_{\eta=1/2} &= p \delta_{m,0}, & (P^{33})^{(4,m)} \Big|_{\eta=-1/2} &= 0. \end{aligned} \quad (22)$$

В уравнениях (22) теории возмущений предыдущих порядков выявлена зависимость от η всех функций, кроме $(P^{33})^{(4,m)}$.

При $m = 0$ условие разрешимости задачи (22) полностью определяет компоненту $(P^{22})^{(2,0)}$:

$$\langle P^{22} \rangle^{(2,0)} \equiv (P^{22})^{(2,0)} = p/\delta, \quad (23)$$

а также (согласно соотношениям (21)) функции $E_{22}^{(2,0)}$, $(P^{11})^{(2,0)}$, $w^{(0,0)}$.

Из условия разрешимости задачи (22) при $m = 1$ получаем связь волнового числа нейтрально-устойчивой линейной моды с внешним давлением:

$$p = -\frac{\delta}{12} \varepsilon^2 (\lambda' + 2\mu) \equiv -\frac{d^3 n^2}{12 R^3} (\lambda' + 2\mu). \quad (24)$$

Формула (24) совпадает с определением “верхней” критической нагрузки в линейной теории оболочек [1]. Далее для определенности полагаем, что внешнее давление удовлетворяет соотношению (24) с относительной погрешностью $O(\varepsilon^2)$. Тогда $\langle P^{32} \rangle^{(3,1)} = O(\varepsilon^5)$.

При выполнении условий (23), (24) из уравнений (22) можно найти компоненты $(P^{33})^{(4,m)}$, а также функции $(\partial\varphi/\partial E_{33})^{(4,m)}$ и $E_{33}^{(4,m)}$, которые содержатся в теории возмущений следующих порядков.

Не приводя подробные расчеты, прокомментируем последний шаг построения упрощенной модели. Редуктивная теория возмущений “замыкается” в упрощенную модель условиями разрешимости, которые имеют вид ($s = 0, 1$)

$$\begin{aligned} \mu \varepsilon^6 \partial_T^2 \tilde{w}^{(0,s)} &= \varepsilon^2 \partial_X \langle P^{31} \rangle^{(4,s)} + i \varepsilon \delta_{s1} \langle P^{32} \rangle^{(3,1)} + i \varepsilon s \langle P^{32} \rangle^{(5,s)} - \\ &- \delta \langle P^{22} \rangle^{(4,s)} - \delta^2 \langle \eta P^{22} \rangle^{(2,s)} + \delta \langle P^{33} \rangle^{(4,s)} + (P^{33})^{(6,s)} \Big|_{\eta=1/2}. \end{aligned} \quad (25)$$

Здесь $(P^{33})^{(6,0)} \Big|_{\eta=1/2} = p \delta \tilde{w}^{(0,0)}$; $(P^{33})^{(6,1)} \Big|_{\eta=1/2} = p \varepsilon^2 \tilde{w}^{(0,1)}/2$.

При $s = 0$ из уравнения (25) определяем компоненту $\langle P^{22} \rangle^{(4,0)}$. Следует отметить, что явное выражение для $\langle P^{22} \rangle^{(4,0)}$ не содержит произвольных функций, кроме $\tilde{w}^{(0,1)}$. Процедура вычисления $\langle P^{22} \rangle^{(4,0)}$ такая же, как и для $\langle P^{22} \rangle^{(2,0)}$ на предыдущем шаге.

При $s = 1$ правая часть равенства (25) содержит слагаемое $\langle P^{32} \rangle^{(5,1)}$, вычисление которого повторным использованием формулы (3) можно свести к расчету средних $\langle P^{23} \rangle^{(5,1)}$,

$\langle P^{22} \rangle^{(4,1)}$, $\langle P^{22} \rangle^{(4,2)}$, $\langle P^{21} \rangle^{(3,0)}$. Средние величины $\langle P^{22} \rangle^{(4,n)}$ ($n = 1, 2$) определяются алгебраическими условиями разрешимости предыдущих краевых задач. Для функции $\langle P^{21} \rangle^{(3,0)}$ условие разрешимости оказывается дифференциальным уравнением по переменной X , которое при краевых условиях (20) имеет тривиальное решение $\langle P^{21} \rangle^{(3,0)} = 0$. Функция $\langle P^{23} \rangle^{(5,1)}$ находится путем интегрирования по η соответствующего уравнения теории возмущений. Следует отметить, что все средние не содержат произвольных функций, кроме $\tilde{w}^{(0,1)}$. При $s = 1$ отсутствие в уравнении (25) функции $\tilde{w}^{(2,1)}$, содержащейся в теории возмущений следующего порядка, гарантировано условием разрешимости (24) в теории возмущений предыдущего порядка.

В конечном счете условие разрешимости (25) ($s = 1$) дает замкнутое дифференциальное уравнение эволюции поперечных изгибов $\tilde{w}^{(0,1)}$ гидростатически сжатой оболочки

$$\partial_T^2 \tilde{w}^{(0,1)} + a \tilde{w}^{(0,1)} \partial_T^2 |\tilde{w}^{(0,1)}|^2 = b \partial_X^2 \tilde{w}^{(0,1)} + c \tilde{w}^{(0,1)} - g \tilde{w}^{(0,1)} |\tilde{w}^{(0,1)}|^2, \quad (26)$$

где

$$a = \frac{\varepsilon^4}{\delta^2}, \quad b = \frac{1}{3} \left(1 + \frac{\lambda'}{2\mu} \right), \quad g = \frac{1}{4} \left(1 + \frac{\lambda'}{2\mu} \right),$$

$$c = -\frac{1}{\varepsilon^4 \mu} \left(\frac{p}{\delta} + \frac{\varepsilon^2}{12} (\lambda' + 2\mu) \right) + \frac{1}{6} \left(1 + \frac{\lambda'}{2\mu} \right) \left[\frac{\delta^2}{\varepsilon^4} + \frac{1}{6} \left(\frac{17}{10} + \frac{1}{\lambda' + 2\mu} \left\{ (A + 2B) \left[1 - \left(\frac{\lambda'}{2\mu} \right)^3 \right] + (B + C) \left(1 - \frac{\lambda'}{2\mu} \right)^3 \right\} \right) \right].$$

Упрощенная модель (26) пригодна для описания изгибов оболочки всюду, за исключением узких полос вблизи ее концов.

4. Узоры из вмятин и компактоны. Упрощенная модель (26) имеет широкий класс точных решений

$$\tilde{w}^{(0,1)} = A(X, T) \exp(i\Theta(X, T)),$$

которым соответствуют поперечные смещения оболочки вида

$$w = \frac{p}{\delta^2(\lambda' + 2\mu)} - \frac{\varepsilon^2}{\delta} A^2(X, T) + 2A(X, T) \cos[\xi_2 + \Theta(X, T)]. \quad (27)$$

Здесь A , Θ — вещественные функции.

Следствием амплитудного уравнения (26) является закон сохранения

$$\partial_T(\partial_T \Theta A^2) = b \partial_X(\partial_X \Theta A^2),$$

которому можно удовлетворить с помощью подстановки

$$\Theta = \omega T + \varphi(X), \quad A = A(X), \quad \partial_X \varphi = r/A^2, \quad r = \text{const}. \quad (28)$$

В общем случае при $r \neq 0$ ограниченные решения модели записываются в терминах эллиптических функций и интегралов третьего рода. В частном случае при выборе постоянных интегрирования решения можно записать в элементарных функциях:

$$A^2 = A_0^2 (1 - \sin^2 B \operatorname{sech}^2 \Psi), \quad \Psi = \sqrt{g/(2b)} X A_0 \sin B,$$

$$\varphi = \operatorname{arctg}(\operatorname{tg} B \operatorname{th} \Psi) + \sqrt{g/(2b)} X A_0 \cos B. \quad (29)$$

Здесь B — вещественный параметр; $A_0^2 = 2\tilde{c}/[g(2 + \cos^2 B)]$; $\tilde{c} = c + \omega^2 > 0$.

При $\omega = 0$ формулы (27)–(29) описывают оболочку с вытянутыми вдоль образующей вмятинами, менее четко выраженными в области шириной порядка $l(\varepsilon A_0 \sin B)^{-1} \sqrt{2b/g}$,

где амплитуды выпуклостей и впадин в поперечном сечении оболочки уменьшаются на величину $2A_0d \cos B$ начиная со значения $2A_0d$ (в исходных размерных переменных). При $\omega \neq 0$ по поверхности оболочки с вмятинами бежит волна поперечных смещений.

При $r = \omega = 0$, $c > 0$ имеем

$$A = \sqrt{2c/g} \sin B \operatorname{sn}(X\sqrt{c/b} \cos B, k), \quad \Theta = \text{const}, \quad (30)$$

где вещественный параметр $0 < B \leq \pi/4$ задает амплитуду и профиль огибающей изгибов оболочки вдоль образующей; $k = \operatorname{tg} B$ — модуль эллиптического синуса. Решению (27), (30) соответствует неподвижная структура, представляющая собой выпуклости и впадины, чередующиеся вдоль образующей оболочки и в ее поперечном сечении. Такие узоры из вмятин, по-видимому, могут реализоваться только при наличии внутри оболочки подкрепляющих колец [1]. Обычно вдоль образующей оболочки формируется одна полуволна огибающей. Эта ситуация описывается формулами (27), (30) с параметром B , являющимся корнем уравнения

$$(\varepsilon/l)L\sqrt{c/b} \cos B = 2K(k),$$

где $K(k)$ — полный эллиптический интеграл первого рода. Из неравенства $c > 0$ следует, что оболочка с вмятинами выдерживает давление, абсолютное значение которого меньше критической нагрузки линейной теории. При $B \rightarrow \pi/4$ в центральной части оболочки амплитуда огибающей почти постоянна: $A(X) \simeq \sqrt{c/g}$, а вблизи концов аппроксимируется выражением

$$A(\xi) \simeq \sqrt{\frac{c}{g}} \operatorname{th} \left(\frac{\varepsilon}{l} \sqrt{\frac{c}{2b}} \xi \right), \quad 0 \leq \xi \leq \frac{l}{\varepsilon} \sqrt{\frac{2b}{c}},$$

где $\xi = y^1$ или $\xi = L - y^1$. “Выполаживание” изгибов вдоль образующей у длинных оболочек наблюдается экспериментально и не может быть объяснено с использованием традиционной теории оболочек.

Модель (26) допускает распространение нелинейных монохроматических волн вдоль оболочки с вмятинами. Соответствующие поперечные смещения оболочки описываются формулой (27), в которой следует положить

$$A(X, T) = A_0 \sin(\Omega T + kX), \quad \Theta = 0, \quad \Omega = \frac{1}{2} \sqrt{\frac{g}{a}}, \quad k^2 = \frac{g}{4ab} (1 - 2aA_0^2) + \frac{c}{b} > 0.$$

Здесь A_0 — вещественный параметр.

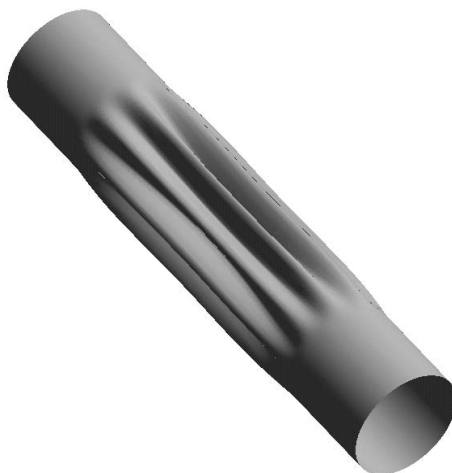
Следует отметить, что после подстановки $\tilde{w}^{(0,1)} = A(\zeta)$, $\zeta = X \pm \sqrt{b}T$ и интегрирования по ζ (постоянная интегрирования выбирается равной нулю) амплитудное уравнение (26) принимает вид

$$A^2 \left((\partial_\zeta A)^2 + \frac{g}{4ab} A^2 - \frac{c}{2ab} \right) = 0. \quad (31)$$

Среди решений уравнения (31) имеются экзотические солитоны — компактоны [13]:

$$A(\zeta) = \sqrt{\frac{2c}{g}} \cos \left(\frac{1}{2} \sqrt{\frac{g}{ab}} \zeta \right), \quad |\zeta| \leq \pi \sqrt{\frac{ab}{g}}. \quad (32)$$

Вне указанного интервала функция $A(\zeta)$ обращается в нуль. Хотя производные этой функции разрывны на краях компактона, в уравнениях (26), (31) слагаемые с производными $A^2(\partial_\zeta A)^2$ и $A \partial_\zeta^2 A^2$ непрерывны всюду включая края солитона. Поперечные изгибы оболочки, соответствующие компактону, представлены на рисунке. В силу своих особенностей компактоны не взаимодействуют с другими солитонами до момента их столкновения. Они



Компактон, соответствующий решению (32)

движутся вдоль образующей оболочки со скоростью $l\varepsilon\sqrt{b}/\tau_{ch}$ (в исходных размерных переменных). Поскольку компактоны образуются только вблизи порога устойчивости формы оболочки, они могут быть использованы для диагностики ее предкритического состояния.

ЛИТЕРАТУРА

1. Вольмир А. С. Устойчивость упругих систем. М.: Физматгиз, 1963.
2. Погорелов А. В. Геометрические методы в нелинейной теории упругих оболочек. М.: Наука, 1967.
3. Murnaghan F. D. Finite deformation of an elastic solid. N. Y.: Willey; L.: Chapman and Hall, 1951.
4. Лурье А. И. Нелинейная теория упругости. М.: Наука, 1980.
5. Ландау Л. Д. Теоретическая физика. Т. 7. Теория упругости / Л. Д. Ландау, Е. М. Лифшиц. М.: Наука, 1987.
6. Додд Р. Солитоны и нелинейные волновые уравнения / Р. Додд, Дж. Эйлбек, Дж. Гиббон, Х. Моррис. М.: Мир, 1988.
7. Ляв А. Математическая теория упругости. М.; Л.: ОНТИ, 1935.
8. Вольмир А. С. Нелинейная динамика пластинок и оболочек. М.: Наука, 1972.
9. Муштари Х. М. Нелинейная теория оболочек. М.: Наука, 1990.
10. Долгих Д. В., Киселев В. В. Двумерная модель динамики сильных изгибов нелинейно-упругой пластины // Прикл. математика и механика. 2003. Т. 67, вып. 2. С. 300–314.
11. Долгих Д. В., Киселев В. В. Солитоны поперечной гофрировки в трехслойной нелинейно-упругой среде // Прикл. математика и механика. 2004. Т. 68, вып. 6. С. 1049–1066.
12. Киселев В. В., Долгих Д. В. Узоры из вмятин на поверхности продольно сжатой нелинейно-упругой цилиндрической оболочки // Прикл. математика и механика. 2007. Т. 71, вып. 3. С. 500–525.
13. Rosenau P., Hyman J. M. Compactons: solitons with finite wavelengh // Phys. Rev. Lett. 1993. V. 70, N 5. P. 564–567.

Поступила в редакцию 17/X 2006 г.,
в окончательном варианте — 8/XII 2006 г.